

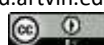
PAPER DETAILS

TITLE: Atik sularda boyalı giderimi için fonsiyonellenmiş nanoselüloz esaslı adsorbanlar

AUTHORS: Recai ARSLAN,Ayhan TOZLUOGLU,Selva SERTKAYA,Hakan FIDAN,Sibel KÜÇÜK

PAGES: 148-160

ORIGINAL PDF URL: <http://ofd.artvin.edu.tr/tr/download/article-file/1412796>



Atık sularda boyalı giderimi için fonsiyonellenmiş nanoselüloz esaslı adsorbanlar

Functionalized nanocellulose based adsorbents for dye removal from wastewater

Recai ARSLAN¹, Ayhan TOZLUOĞLU², Selva SERTKAYA¹, Hakan FİDAN³, Sibel KÜÇÜK¹

¹Düzce Üniversitesi, Tarımsal Atıkların Endüstriye Geri Kazanımı Uygulama ve Araştırma Merkezi, Düzce/Türkiye

²Düzce Üniversitesi, Orman Fakültesi, Orman Endüstri Mühendisliği Bölümü, Düzce/Türkiye

³İzmir Katip Çelebi Üniversitesi, Orman Fakültesi, Orman Endüstri Mühendisliği Bölümü, İzmir/Türkiye

Eser Bilgisi / Article Info

Derleme makale / Review article

DOI: 10.17474/artvinofd.830601

Sorumlu yazar / Corresponding author

Recai ARSLAN

e-mail: recaiarlsan@duzce.edu.tr

Geliş tarihi / Received

24.11.2020

Düzelme tarihi / Received in revised form

17.03.2021

Kabul Tarihi / Accepted

26.03.2020

Elektronik erişim / Online available

12.05.2021

Anahtar kelimeler:

Adsorbsiyon

Atık su

Boya uzaklaştırma

Modifikasyon

Nanoselüloz

Keywords:

Adsorption

Waste water

Dye removal

Modification

Nanocellulose

Özet

Son yıllarda, dünya genelinde artan nüfus ile birlikte tarımsal ve endüstriyel faaliyetler giderek artmıştır. Bu faaliyetler sırasında ortaya çıkan organik maddeler, inorganik anyonlar, toksik ağır metaller, zehirli gazlar vb. birçok kirlilikçi çevreye salınmakta ve özellikle sularda önemli derecede kirlilik sorunlarına yol açmaktadır. Bu nedenle çevre dostu ve uygun maliyetli arıtma teknolojilerine ihtiyaç duyulmaktadır. Atık sularda kullanılan adsorbsiyon işlemi çevre dostu arıtma teknolojilerinden biridir. Çeşitli doğal kaynaklardan elde edilebilen selülozik maddeler adsorbanlar olarak kullanılabilirlerdir. Atık sularda bulunan organik kirlilikçiler ve ağır metal iyonlarının adsorbsiyon kapasiteleri kimyasal işlemlerden etkilenebilir olup, modifiye edilmiş selülozun modifiye edilmemiş selüloza göre daha yüksek adsorbsiyon kapasitesi sergilediği bilinmektedir. Bu derlemede, literatürde yer alan çeşitli nanoselüloz esaslı adsorbanların, özellikle atık sularda bulunan boyaların uzaklaştırılmasında sergiledikleri adsorbsiyon kapasiteleri ve bu adsorbanların modifikasyonları sonrasında yapılarının karakterizasyonunda kullanılan FTIR ve SEM analizleri incelenmiştir. Nanoselüloz esaslı adsorbanların atık suların boyaların uzaklaştırılmasında iyi bir potansiyel sergilediği görülmektedir. Çevre kirliliğini minimuma indirmek için ucuz ve daha etkili selüloz esaslı adsorbanların modifikasyonlarla geliştirilebileceği düşünülmektedir.

Abstract

In recent years, agricultural and industrial activities have gradually increased with the increasing population worldwide. Many pollutants, such as organic substances, inorganic anions, toxic heavy metals, toxic gases etc., generated during these activities are released into the environment and cause significant pollution problems, especially in water. Therefore, environmentally friendly and cost-effective treatment technologies are needed. The adsorption process used in waste water is one of the environmentally friendly purification technologies. Cellulosic materials obtained from various natural sources can be used as adsorbents. The adsorption capacity of organic pollutants and heavy metal ions in wastewater is affected by chemical processes, and it is known that modified cellulose exhibits higher adsorption capacity than unmodified cellulose. In this review, the adsorption capacities of various nanocellulose-based adsorbents, especially in the removal of dyes in wastewater, and the FTIR and SEM analyzes used in the characterization of the structures of these adsorbents after modifications were examined. Nanocellulose-based adsorbents appear to exhibit good potential in removing dyes in the waste water. It is thought that cheap and more effective cellulose-based adsorbents can be developed with modifications to minimize environmental pollution.

BOYA ENDÜSTRİSİ

Boyalı bir bağlayıcı içine katılmış çözücü, pigment, dolgu ve katkı maddelerinin bir araya gelmesiyle oluşan ve aynı zamanda sürüldüğü yüzey üzerine tutunarak çok ince bir tabaka oluşturan akışkan bir malzemedir (Camcioğlu 2010). Boyalar genellikle anorganik bileşikler olup (Kabay 2002), günümüzde daha çok yapı malzemelerini atmosferik, kimyasal ve dış etkilere karşı korumak ve uygulanan yüzeyin dekoratif özelliklerini artırmak için

kullanılmaktadır. Boyaların yapısında genel olarak bağlayıcılar, çözücüler, pigmentler, dolgu ve katkı maddeleri bulunur. Bunlar boyanın temel bileşenleri olup, teknik özellikleri belirlerler. Yapılarında bulunan çeşitli organik ve anorganik maddeler, boyalı uygulamaların sonrasında meydana gelen atıklarda kirlilik olarak ortaya çıkmaktadır.

Plastik, tekstil, kâğıt, baskı, halı, gıda, kozmetik, vb. birçok kimya endüstri ürünlerine renk sağlamak için 10.000'den

fazla farklı boyalı ve pigment kullanıldığı bilinmektedir (Bhattacharyya ve Ray 2015, Yagub ve ark. 2014). Geniş bir kullanım alanına sahip olan boyaların yaklaşık % 15'i endüstriyel atık olarak ortaya çıkar (Kayranlı 2011). Boyalar biyolojik olarak parçalanamaz ve ışığa, ısva ve oksitleyici maddelere karşı dayanıklıdır (Wang ve ark. 2006). Bu özelliklerinden dolayı boyalar, sularda kirliliğe ve oksijenlenme kapasitesinin azalmasına yol açmaktadır ve hidrosferde verdiği zararla ciddi çevre sorunları yaratmaktadır (Piccin ve ark. 2012).

BOYALARIN ATIK SULARDAN UZAKLAŞTIRILMA YÖNTEMLERİ

Boyaları atık sulardan uzaklaştırmada elektroliz, elektrodiyaliz, flokülasyon, oksidasyon, adsorpsiyon, membran muamelesi ve iyon değişimi gibi çeşitli birçok yöntem kullanılmaktadır (Swaminathan ve ark. 2003, Pearce ve ark. 2003). Bu işlemlerden biri olan adsorpsiyon maliyeti, kullanım kolaylığı, tasarım esnekliği ve basitliği açısından diğer tekniklerden daha üstün olup, boyaların veya diğer kirleticilerin uzaklaştırılması için ideal bir yöntem olduğu kabul edilir (Crini 2006, Deng ve ark. 2012, Unuabonah ve Taubert 2014).

Adsorpsiyon, katı fazda olan adsorbanlar ile sıvı veya gaz fazında olan adsorbatlar arasındaki yüzey etkileşimine dayanır. Bu nedenle adsorban yüzeyi üzerindeki fonksiyonel gruplar, adsorban materyalin etkinliğini, kapasitesini, seçiciliğini ve tekrar kullanılabilirliğini belirlemekte önemli bir rol oynamaktadır (Dural ve ark. 2011, Karim ve ark. 2014). Böcek ilaçları, ağır metal iyonları ve çözünmüş organik kirleticiler gibi çok sayıda kimyasal türün atık sulardan uzaklaştırılmasında yaygın olarak kullanılan bir yöntemdir (Mahfoudhi ve Boufi 2017).

Sudaki boyalı ve diğer kirleticilerin uzaklaştırılmasında kullanılan adsorbanlar arasında aktif karbonlar, zeolitler, killer, silika boncuklar, tarımsal atıklar, biyokütle, endüstriyel yan ürünler, polimerik reçineler vb., bulunmaktadır (Yagub ve ark. 2014, Unuabonah ve Taubert 2014, Murphy ve ark. 2008). Bilinen adsorbanlar genellikle sınırlı yüzey alanı veya aktif bölgeler nedeniyle düşük adsorpsiyon kinetiğine sahip olup, seçicilikleri de sınırlıdır (Qu ve ark. 2013). Adsorpsiyon için genellikle

geniş bir yüzey alanı ve aktif bölgelerin fazla olması esastır (Liu ve ark. 2014). Nanomaterialer de kirleticilerle etkileşime girebilecek fazla sayıda aktif bölgeye sahip, yüzey alanları geniş ve adsorpsiyon verimlilikleri yüksek malzemelerdir. Bu özelliklerinden dolayı atık sulardan boyaların uzaklaştırılmasında daha fazla kullanılmaktadır (Savage ve Diallo 2005).

Düşük maliyetli, daha yeşil ve sürdürülebilir çözümleri sağlamak amacıyla tarım, odun ve kabuklu deniz ürünlerinden veya atıklarından adsorbanlar geliştirmek araştırmacıların ve sanayi kuruluşlarının ilgisini çekmektedir (Pei ve ark. 2013). Selülozun dünyada en fazla bulunan organik hamaddenin, ucuz, yenilenebilir, biyolojik olarak parçalanabilen ve biyolojik olarak uyumlu olmasından dolayı atık sulardan boyaların giderilmesi için kullanılabilen en önemli materyallerden biri olduğu düşünülmektedir (Tavakolian ve ark. 2019, Roy ve ark. 2009). Selüloz materyallerden fizikal, kimyasal, mekanik veya biyolojik yöntemlerle elde edilen nanoselüloz, yüksek biyoyumluluğu, yüksek en boy oranı, -OH gruplarının reaktif yüzeyi ve geniş spesifik yüzey alanı gibi avantaj yaratan özellikleri nedeniyle birçok sektörde farklı alanlardan giderek artan ilgi çekmektedir. Nanoselüloz, sentetik nanoparçacıklara kıyasla güçlü mekanik mukavemeti, ucuz üretim maliyetlerine ve güvenli kullanıma sahip hafif bir malzemedir. Spesifik yüzey alanı sayesinde yüzeyde çok daha aktif yer sağlayarak yüksek adsorpsiyon kabiliyeti göstermektedir (Jin ve ark. 2015a). Benzersiz özelliklere sahip olan nanoselüloz ağır metaller, çözünmüş organik kirleticiler, boyalar, yağ ve istenmeyen atıklar dahil olmak üzere birçok kirletici sınıfı için yüksek adsorbsiyon edilebilirlik sağlayabilmektedir (Mahfoudhi ve Boufi 2017, Jin ve ark. 2015b).

NANOSELÜLOZ

Nanoselüloz çevre dostu bir nanomaterial olup, lignoselülozik hamaddenin kaynaklarından elde edilir. Fizikal, kimyasal ve morfolojik özellikleri sayesinde endüstri alanında olumlu etkiler kazandıran materyal haline gelmiştir (Poyraz ve ark. 2018). Geniş bir kullanım alanına sahip ve biyokütlede üretilen bir materyal olması her ne kadar araştırmacıların ilgisini çekmeye biliyor.

ülkemizde nanoselüloz üretimi konusunda çalışma sayısı yetersizdir (Yakkan 2015).

Nanoselüloz Çeşitleri

Nanoselüloz, nanofibril selüloz (NFC), nanokristalin selüloz (NCC) ve bakteriyel nanoselüloz (BNC) olmak üzere üç farklı türde bulunmaktadır. NFC, kimyasal veya enzimatik reaksiyonlar öncesi ve/veya sonrasında mekanik bir etki (yüksek basıncı homojenizatörler yardımıyla liflerin birbirinden ayrılması) sonucu hücre çeperi delaminasyonu ile oluşmaktadır. Boyları da birkaç μm , çapları ise 3-60 nm arasında olup, NCC'ye göre daha düşük polimerizasyon derecesine (DP) sahiptir (Poyraz ve ark. 2018). Uygun fiziksel özelliklere ve yüksek en boy oranı ile DP'ne sahip nanoselüloz birçok malzemenin üretiminde yoğun bir şekilde kullanılmakta olsa da, enerji tüketimin yüksek olması bu yöntemin en büyük sorunu olarak görülmektedir (Lin ve Dufresne 2014).

NCC kuvvetli asidik koşullar altında üretilmekte olup, elde edilen lifler 100-250 nm aralığında değişen boylara ve 5-70 nm çapa sahiptir (Poyraz ve ark. 2018). Bu yöntemde asit liflerin amorf bölgelerine etki ederek DP'ni düşürmektedir. Asit hidrolizini takiben yapılan sonikasyon işlemi sonrasında lifler birbirinden ayrılmakta ve elde edilen ürün nanokristalin selüloz (NCC) olarak isimlendirilmektedir. Nanokristalin selülozün kristallik derecesi yüksek fakat en boy oranı nanofibril selüloza oranla daha düşüktür. Bu yöntemde enerji tüketimi az olmasına karşın, verim düşük olup çevre dostu ve ekonomik değildir.

BNC aşağıdan yukarıya metodu ile belirli bakteri türlerinden glikozun enzimatik polimerizasyonu ile elde edilen (Gama ve ark. 2012), 20-100 nm çapa sahip nanoselüloz türüdür (Klemm ve ark. 2011). BNC hemiselüloz ve lignin içermez (Smrkova ve ark. 2012). Su tutma kapasitesi ve kristallik derecesi yüksektir (Mahfoudhi ve Boufi 2017).

Nanoselülozun Kullanım Alanları

NFC üstün fiziksel ve mekanik özellikleri sayesinde kompozit üretimi, kâğıt, tekstil, gıda, tıp, kozmetik ve ecza sanayi gibi birçok sektörde kullanılmaktadır. Kâğıt

üritiminde kullanılan NFC'nin, kâğıdın fiziksel ve mekanik direnç özelliklerini olumlu yönde etkilediği belirtildi (Tozluoğlu ve Poyraz 2016, Eriksen ve ark. 2008, Siro ve Plackett 2010). NFC'nin küçük boyutta ve geniş yüzey alanına sahip olması, H-bağı yapabilecek çok sayıda OH gruplarını yapısında bulundurması kâğıt üretimlerinde lifler arası bağlantıyı artırarak kâğıdın su tutma ve direnç özelliklerini artırmaktadır (Hubbe ve Heitmann 2007, Ratulainen ve ark. 2002). Kompozit üretimlerinde ise mekanik ve viskozite özelliklerini iyileştirmek için polimer çözeltilerine farklı oranlarda nanoselüloz karıştırıldığı bilinmektedir (Dufresne 2008, Cao ve ark. 2008). Selüloz kaynaklı bir yapıya sahip olmasından dolayı nanoselülozun kompozit materyallerinde biyobozunurluğu da hızlandırıldığı belirtilmiştir (Loelovich ve Leykin 2004). Gıda sektöründe NFC'nin stabilizatör, kıvam artırıcı, katkı maddesi ve diyet lifi gibi çok sayıda amaca yönelik kullanımları mevcuttur (Gómez ve ark. 2016). Ayrıca gıda ambalaj malzemelerinin fiziksel, mekanik ve termal özelliklerini iyileştirmesinin yanı sıra biyobozunur ve çevre dostu bir polimer olması gıda sektöründe nanoselülozun kullanımını hızlı bir şekilde artırmıştır (Bharimalla ve ark. 2017). BNC'ler doku, bandaj, implant ve diğer bazı materyallerin üretiminde kullanılmaktadırlar (Klemm ve ark. 2006). Toz haline getirilmiş nanoselülolazalar eczacılıkta yardımcı materyal olarak kullanılırken, bu nanoselülozdan elde edilen jeller gözenekli yapıları sayesinde pansuman bezi, bebek bezi ve hijyen bez üretimlerinde kullanılmaktadırlar. Ayrıca kozmetik sanayinde saç, kirpirik, kaş ve tırnak boyalarının üretiminde nanoselüzlardan faydalánılmaktadır (Anonim 2013).

Nanoselüloz Fonksiyonellenmesi

Nanoselülozun, yüzeyinde sahip olduğu çok sayıdaki hidroksil grupları ve hidrofilik özellikleri nedeniyle organik moleküller nanoselüloz yüzeyine adsorbe edilebilir. Modifikasiyon yapılarak selüloz yüzeyinin etkinleştirilmesi ve Van der Waals etkileşimleri sayesinde nanoselülozun adsorpsiyon kapasitesi artırılmaktadır. Nanoselüloz esaslı adsorbanların yüzeyinin fonksiyonellenmesi, belirli bir kirletici sınıfının adsorpsyonunu teşvik etmek ve adsorpsiyon kapasitesini artırmak için önemli bir adımdır. Nanoselülozu fonksiyonellemek için oksidasyon, esterleştirme, sililleme, karboksilasyon, asetilasyon,

aminasyon, sülfonasyon ve polimer aşılama gibi birçok modifiye yöntem bulunmaktadır (Zaman ve ark. 2012, Missoum ve ark. 2013, Habibi ve ark. 2010, Ifuki ve ark. 2007, Pahimanolis ve ark. 2011). Bu yöntemler araştırmacıların ilgisini çektiği için nanoselülozun modifikasyonu ile ilgili çok sayıda çalışma bulunmaktadır. Özellikle boyalı ve diğer kirleticilerin adsorpsiyonunda kullanılan nanoselülozu fonksiyonelleme yöntemleri Çizelge 1'de gösterilmiştir.

Çizelge 1. Nanoselülozun modifikasyon yöntemleri (Mahfoudhi ve ark. 2017)

Modifikasiyon yöntemi	Modifikasiyon ajanı	Fonksiyonel Grup
Oksidasyon	TEMPO, NaClO ₂ , PINO, AQ, NaIO ₄ , ClO, HCl, Sitrik asit (NH ₄) ₂ S ₂ O ₈	-COOH
Karboksilasyon	Maleik anhidrit	
Asetilasyon	Süksinik asit Galaktoz oksidaz/lakkaz	
	L-laktid Akrilik asit	-(COOH) _n
Sülfonasyon	NaIO ₄ , NaCl	-CHO
Esterifikasyon	H ₂ SO ₄	-OSO ₃
Polimerizasyon	Lakkaz/peroksidaz	-OCOR
Fosforilasyon	ATP, hegzokinaz	-PO ₄ ³⁻
	Epiklorohidrin, dietyltriamin	
Aminasyon	(3-aminopropil) trietoksilan NaIO ₄ , etilendiamin	-NH ₂

Nanoselüloz Esaslı Adsorbanların Performans Özelliklerinin Belirlenmesi

Nanoselüloz esaslı adsorban malzemelerin performans özelliklerini belirlemek için adsorpsiyon çalışmaları yapılmaktadır. Bu çalışmaların yanında FTIR (Fourier Dönüşümlü Kızılıötesi Spektroskopisi), NMR (Nükleer Manyetik Rezonans), SEM (Taramalı Elektron Mikroskopu), ICP-MS (Endüktif Eşleşmiş Plazma Kütle Spektrometresi) ve LC-MS (Sıvı Kromatografi-Kütle Spektrometresi) gibi analizler sayesinde adsorban malzemelerin karakterizasyonu yapılmaktadır. Bu araştırma makalesinde ise nanoselüloz esaslı adsorban

malzemelerin adsorpsiyon çalışmaları ile birlikte FTIR ve SEM analizleri üzerinde durulmuştur.

Adsorpsiyon Çalışmaları

Gelişmekte olan alternatif çevre dostu malzeme ve üretim yöntemleri ile birlikte özellikle boyalı sanayide meydana çıkan atıkların bertaraf işlemleri giderek önem kazanmaktadır. Bu bağlamda endüstriyel boyaların çevreye salınımının engellenmesi ve toksik etkilerinin azaltılması üzerine membran filtreleme, oksidasyon, flokülasyon, elektroliz, adsorpsiyon vs. çok sayıda yöntem geliştirilmiştir. Adsorpsiyon, uygulama kolaylığı, seçicilik, maliyet ve tekrarlanabilirlik gibi üstün özelliklerini sayesinde boyalı uzaklaştırıldığında avantaj sağlayacağı düşünülen bir yöntemdir. Adsorpsiyon işleminde aktif karbon, zeolit, polimerik reçine, biyokütle, vs. birçok adsorban kullanılmaktadır. Aktif karbon her ne kadar güçlü bir adsorban olsa da maliyet açısından dezavantajlidir. Biyokütle kaynağı olan selüloz, düşük maliyetli ve çevre dostu adsorbanların geliştirilmesi için önemli bir materyaldir. Selüloz, yüksek en boy oranı ve geniş yüzey alanı sayesinde adsorpsiyon için gerekli olan özellikleri bünyesinde taşımaktadır. Kimyasal ve mekanik yöntemlerle elde edilen nanoselülozların adsorpsiyon işlemlerinde kullanıldığı bilinmektedir. Modifikasiyon işlemleri sonucunda fonksiyonellenen ve adsorban olarak kullanılabilen nanoselülozun sergilediği özellikler üzerine çok sayıda çalışma mevcuttur. Bu konu üzerine yapılan çalışmalar günümüz teknolojisinde özellikle nanomaterialere olan ilginin artışıyla birlikte giderek önem kazanmaktadır.

Adsorpsiyon işlemi, sabit bir sıcaklıktaki adsorban kütlesi konsantrasyonu ile adsorbatın yüzey konsantrasyonu arasındaki ilişkiyi tanımlayan adsorpsiyon izotermi ile modellenmektedir (Voisin ve ark. 2017). Adsorpsiyonun "elverişli" veya "elverişsiz" olduğuna karar vermek için herhangi bir ölçü birimi olmayan, ayırma faktörü veya denge parametresi olarak bilinen denklem (1)'deki R_L değeri belirlenir. Eğer R_L>1 ise izoterm elverişsiz, R_L=1 ise izoterm doğrusal, 0<R_L<1 ise izoterm elverişli, R_L=0 ise izoterm geri döndürülemezdir (Chan ve ark. 2015).

$$R_L = \frac{1}{1+bC_e} \quad (1)$$

Denklemde C_e ($\text{mg} \cdot \text{L}^{-1}$), çözeltideki türlerin (örneğin organik kirletici) denge konsantrasyonu; b ($\text{L} \cdot \text{mg}^{-1}$), sistemin adsorpsiyon enerjisi ile ilişkili Langmuir sabitidir.

Selüloz ve türevleri için en yaygın kullanılan izotermler Langmuir ve Freundlich izotermeler olup, sırasıyla denklem (2) ve (3)' de ifade edilmektedir:

$$q_e = \frac{Q_{\max} b C_e}{1 + b C_e} \quad (2)$$

Denklemde q_e ($\text{mg} \cdot \text{g}^{-1}$), çözelti konsantrasyonunda 1 g adsorban tarafından adsorbe edilen miktar; C_e ($\text{mg} \cdot \text{L}^{-1}$), çözeltideki türlerin (örneğin organik kirletici) denge konsantrasyonu; Q_{\max} ($\text{mg} \cdot \text{g}^{-1}$), adsorbanın gram başına maksimum adsorpsiyon kapasitesi; ve b ($\text{L} \cdot \text{mg}^{-1}$), sistemin adsorpsiyon enerjisi ile ilişkili Langmuir sabitidir (Langmuir 1918).

$$q_e = K_F C_e^{1/n} \quad (3)$$

Denklemde q_e ($\text{mg} \cdot \text{g}^{-1}$), çözelti konsantrasyonunda 1 g adsorban tarafından adsorbe edilen miktar; C_e ($\text{mg} \cdot \text{L}^{-1}$), çözeltideki türlerin (örneğin organik kirletici) denge konsantrasyonu; K_F ve n sırasıyla adsorpsiyon kapasitesi ve adsorpsiyon yoğunluğu ile ilişkili Freundlich sabitleridir (Freundlich 1906).

Atıksularda görülen kirleticilerle (örneğin boyaya ve ağır metaller) farklı türlerdeki adsorbanlar arasında meydana gelen etkileşimleri incelemek için Langmuir ve Freundlich izoterm modelleri bağlantılı olarak kullanılmıştır. Bu derlemede ele alınan ve sunulan verilerin neredeyse tamamında Freundlich veya Langmuir izotermeleri kullanılmış olup yaygın olarak kullanılan boyaya uzaklaşma yüzde formülü denklem (4)'te gösterilmiştir (Aravindhan ve ark. 2015).

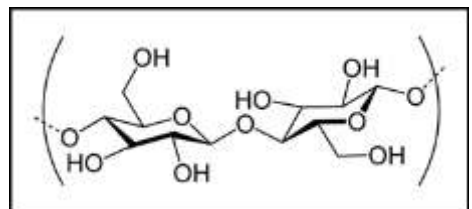
$$\text{Boya giderme \%} = \frac{(C_0 - C_e)}{C_0} \times 100 \quad (4)$$

Denklemde C_e ($\text{mg} \cdot \text{L}^{-1}$), çözelti içindeki serbest boyaya moleküllerinin denge konsantrasyonu; C_0 ($\text{mg} \cdot \text{L}^{-1}$), başlangıç boyaya konsantrasyonudur.

FTIR Analizleri

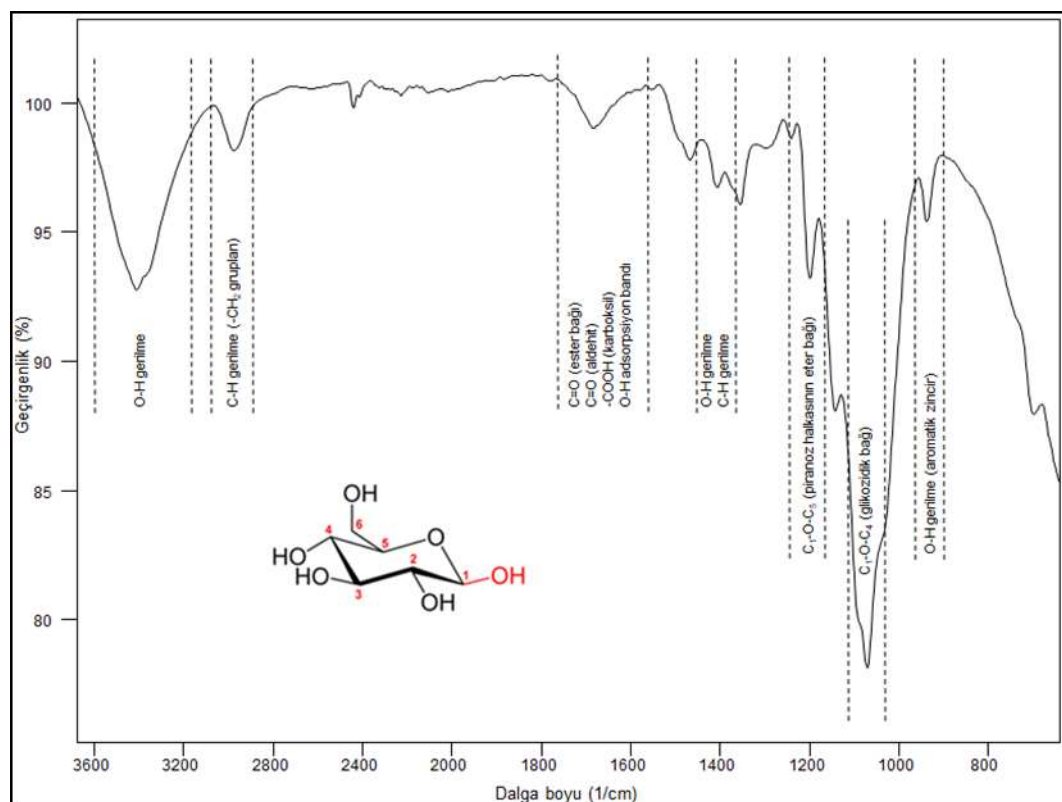
FTIR (Fourier transform infrared spectroscopy) analizleri, selüloza eklenen destek materyalleri ve yapılan modifikasyon işlemlerinin kimyasal yapı üzerindeki etkilerinin belirlenmesi için gerçekleştirilir.

Şekil 1'de gösterilen selüloz molekülünde moleküler bağların karakterizasyonu yapılarak; yapıdaki fonksiyonel gruplar, bağların durumu ve bağlanma yerleri belirlenebilir (Fabio ve ark. 2013).



Şekil 1. Selüloz molekülü

Şekil 2'de 400-4000 cm^{-1} dalga boyu aralığında selüloz molekülünde bulunan kimyasal grupların karakteristik pik değerleri görülmektedir. 3200-3600 cm^{-1} de hidroksil grupları ($-\text{OH}$) (Chan ve ark. 2015, Qiao ve ark. 2015), 2850-2950 cm^{-1} de alifatik alkil gerilme titreşimi ($-\text{CH}_2-$) (Liang ve Marchessault 1959, Zhu ve ark. 2016, Salama ve ark. 2015), 1650-1750 cm^{-1} de aldehid ve ester gruplarının C=O titreşimleri (Chan ve ark. 2015, Zhu ve ark. 2016, Salama ve ark. 2015) ile karboksil grupları ($-\text{COOH}$) (Jin ve ark. 2015b, Qiao ve ark. 2015, Yu ve ark. 2016), 1600-1650 cm^{-1} de $-\text{OH}$ gruplarının adsorpsiyon bandı (Pei ve ark. 2013, Jin ve ark. 2015a, Liang ve Marchessault 1959; Zhu ve ark. 2016), 1400-1450 cm^{-1} de $-\text{OH}$ ve $-\text{CH}$ düzlem içi bükülme titreşimleri (Zhu, ve ark. 2016, Yu ve ark. 2016), 1160 cm^{-1} de piranoz halkalarındaki eter bağlarının gerilme titreşimi ($\text{C}-\text{O}-\text{C}$) (Qiao ve ark. 2015, Zhu ve ark. 2016, Chan ve ark. 2013) görülmektedir.



Şekil 2. FTIR spektrumunda selülozun karakteristik pikleri (Qiao ve ark. 2015, Liang ve Marchessault 1959, Zhu ve ark. 2016, Yu ve ark. 2016)

SEM Analizleri

Selüloz nanofibrillerinin çap ve uzunluğu uygulanan mekanik ve kimyasal işlemlere göre değişiklik göstermektedir. Kimyasal veya enzimatik ön işlemlerin türü, uygulanan mekanik ön muameleler ve homojenizasyon sırasında değişkenlere göre nanoselülozların boyutları 20-50 nm genişlik ve birkaç μm uzunluk olarak değişmektedir (Lavoine ve ark. 2012). Alemdar ve Sain (2008), buğday samanından elde ettikleri mikrofibril selülozun (MFC) lif çaplarının 10-80 nm olduğunu belirtmişlerdir. Iwamoto ve ark. (2007) yaptıkları çalışmada ögütücüden 15 kez geçirdikleri hamur liflerinden 20-50 nm genişliğinde çapa sahip mikrofibril selülozlar elde etmişlerdir. Diğer bir çalışmada ise benzer şekilde ögütücü yardımıyla 15 nm genişliğe sahip homojen yapıda MFC elde edilmiştir (Abe ve ark. 2007). Başka bir çalışmada ise mekanik karıştırma ile yapılan ön muamele sonrasında 15–20 nm genişliğinde homojen MFC elde edilmiştir (Uetani ve Yano 2011). Aulin ve ark. (2009) yaptıkları çalışmada ise mikrofludizer ile elde ettikleri karboksimetilenmiş MFC'yi ön işleme tabi tutulmamış MFC ile kıyaslamışlar ve lif boyutlarının sırasıyla 10–15 nm ve 10–30 nm çap genişliklerine sahip

olduğunu belirtmişlerdir. Pääkkö ve ark. (2007) ise enzimatik ön işlemin ardından elde ettikleri mikrofibrillenmiş selüloz liflerinin 20-30 nm'lik çap genişliğine sahip olduğunu belirtmişlerdir. Literatürde karşılaşılan sonuçlara göre mekanik ve kimyasal ön işlemlerin mikrofibril selüloz morfolojisini üzerinde etkili olduğu görülmektedir. Farklı hammaddelerden elde edilen mikrofibril selülozların boyutlarını doğru bir şekilde karşılaştırmak zor olsa da, selülozun kaynağına göre liflerin farklı nitelik, çap ve uzunluklara sahip oldukları görülmektedir (Lavoine ve ark. 2012).

NANOSELÜLOZ ESASLI ADSORBANLAR

Nanoselüloz Esaslı Adsorbanların Adsorpsiyon İzotermeleri

Kimyasal veya enzimatik ön işlemler sonrası yapılan mekanik parçalama ile etkin ve maliyeti düşük nanofibril selülozlar elde edilebilir. Bu da yüksek adsorpsiyon kapasitesi ve hızlı denge kinetiği sayesinde nanofibril selüloz kaynaklı adsorbanların geliştirilmesini mümkün kılmaktır ve araştırmacıları teşvik etmektedir. Bu bağlamda yapılan çalışmalar incelendiğinde,

modifikasyon işlemleri sonucu elde edilen naoselülozların farklı boyalı türlerine karşı gösterdikleri adsorbsiyon kapasitelerinin yer aldığı çok sayıda araştırma bulunmaktadır. Chan ve ark. (2015) yaptıkları çalışmada, asitli klorit ağartma yöntemi ve ardından yapılan mekanik parçalama işlemi ile kenaf çekirdeğinden nanofibril selüloz hazırlamıştır. CNF'nin katyonik bir boyalı olan metilen mavisine karşı adsorbsiyon kinetiği incelendiğinde, pH 9'da 1 dakikalık temas süresinden hemen sonra adsorbsiyon hızının dengeye ulaşığı tespit edilmiştir. Adsorbsiyon verileri hem Langmuir hem de Freundlich modellerine göre incelenmiş, Langmuir modelinin adsorbsiyon işlemini açıklamak için daha iyi bir model olduğu tespit edilmiştir. Metilen mavisi için asit ile muamele edilmiş CNF'nin maksimum adsorbsiyon kapasitesi (Q_{max}) 122.2 mg.g^{-1} olarak belirlenmiştir. He ve ark. (2013) hazırladıkları kristalin nanoselülozu amonyum persülfat ile reaksiyona sokarak elde ettikleri adsorbanın metilen mavisine karşı olan adsorbsiyon kapasitesini Langmuir izoterm modeline göre incelemiştir. Metilen mavisi için pH 7'de 101 mg.g^{-1} olarak tespit edilen kristal nanoselülozon maksimum adsorbsiyon kapasitesi (Q_{max}) nanoselüloz yüzeyinin fonksiyonellenmesi ile birlikte 127 mg.g^{-1} 'e çıkmıştır. Zhu ve ark. (2016) kimyasal olarak NaIO_4 ile oksitlenmiş selüloz moleküllerine katyonik aşırı dallanmış polietilenimin (hPEI) kimyasalını polimer aşılama yöntemi sayesinde aldehit grupları ile hPEI amino grupları arasında Schiff baz yapısı oluşturarak kovalent bir şekilde bağlamışlar ve işlevselleştirilmiş hPEI-CE elde etmişlerdir. Daha sonra Langmuir izoterm modeline göre hPEI-CE'nin sulu çözeltilerdeki anyonik boyalı adsorbsiyonunu incelediklerinde, kongo kırmızısı için 2100 mg.g^{-1} ve katyonik bazik sarı için 1860 mg.g^{-1}

maksimum adsorbsiyon kapasitesi (Q_{max}) tespit etmişlerdir. Ayrıca hPEI-CE'nin sulu çözeltideki farklı boyalar için seçici bir adsorbsiyona sahip olduğunu ve endüstriyel atık sularдан çeşitli kirleticilerin uzaklaştırılması için umut verici bir aday olabileceğini belirtmişlerdir. Qiao ve ark. (2015) yaptıkları çalışmada ise, sülfürik asit metodu ile yaptıkları selülozo nanokristallerinin hidroksil grupları üzerine esterifikasyon reaksiyonu ile maleik anhidrit aşılıyarak karboksilatla fonksiyonellenmiş bir adsorban (CNM) sentezlemiştir. CNM'nin kristal viyoleye (CV) karşı pH 6'daki Langmuir izoterm modelini incelediklerinde, maksimum adsorbsiyon kapasitesini (Q_{max}) 243.9 mg.g^{-1} olarak tespit etmişlerdir.

Reaksiyon süresi, konsantrasyon, pH, sıcaklık, adsorban ve adsorbat türü, adsorbsiyon çalışmalarında adsorbsiyon kapasitesine doğrudan etki eden parametrelerdir. Bu doğrultuda atık sulardan çeşitli anyonik ve katyonik boyaların uzaklaştırmasına yönelik yapılan çalışmalar Çizelge 2'de sunulmaktadır.

Çizelge 2 incelendiğinde, genellikle nötral pH ve düşük sıcaklık şartlarında adsorbsiyon kapasitelerinin belirlendiği, boyalı konsantrasyonu ve reaksiyon süresi gibi diğer parametrelerin ise değişkenlik gösterdiği görülmektedir. Selüloza uygulanan modifikasyon işleminin yüzey etkinliğini artırarak genel anlamda adsorbsiyon kapasitesini artırmaktadır. Farklı formlarda elde edilebilen naoselülozlar, özellikle geniş spesifik yüzey alanları sayesinde boyalı adsorbsiyonu için ideal bir adsorban özelliği taşımaktadır.

Çizelge 2. Kimyasal reaktifler ve bağlayıcı ajanlar ile çeşitli modifikasyon işlemleri sonucu elde edilen nanoselüloz türevlerinin farklı boyalı türleri

Adsorban	Adsorbat	İzoterm modeli	Maksimum adsorpsiyon kapasitesi (Q_{\max}) (mg.g ⁻¹)	pH	Sıcaklık (°C)	Reaksiyon süresi (min.)
Selüloz nanofibrilleri (CNF)		Langmuir	122.2	3-9	20, 40, 60	1
Nanokristalin selüloz (NCC)		Langmuir	101.0	7	22	0-960
Karboksilenmiş CNCs		-	135.0	7	25	-
Poliakrilamid/selüloz nanokristali (HPAM/CNC)	Methylene blue (MB)	Langmuir	326.1	6	Oda sıcaklığı	0-700
Selüloz nanokristal aljinat hidrojel (CNC-ALG)		Langmuir	256.4	7	25	60
Elektrosterik olarak stabilize edilmiş selüloz (ENCC)		-	1400.0	-	-	-
Oksidize nanofibril selüloz (TEMPO-NFC)		-	769.0	9	25	1
CaCO ₃ -selüloz aerojel		-	75.8	-	20, 60	-
Polimerik iyonik sıvı (Fe ₃ O ₄ -selüloz nanohibrit)		Langmuir	131.0	6	-	11
Katyonik aşırı dallanmış polietilenimin ile oksitlenmiş selüloz (hPEI -CE)	Congo Red (CR)	Langmuir	2100.0	5-9	25	60
Kuaternize selüloz nanofibriller (Q-NFC)		-	664.1	-	-	1
DANC ve PVAm esaslı nanokompozit mikrojel		Langmuir	869.1	-	-	-
Amino fonksiyonellenmiş nanokristalin selüloz (ANCC)		Langmuir	555.6	4.7	-	-
DANC ve PVAm esaslı nanokompozit mikrojel	Acid red GR	Langmuir	1469.7	-	-	-
Oksidize nanofibril selüloz (TEMPO-NFC)	Reactive Red 120	-	-	-	70	30, 60, 90, 100
CMC-g-PDMAEMA hidrojeli	Methyl orange (MO)	Langmuir	1825.0	-	-	-
Karboksilenmiş selüloz (CNM)	Crystal violet (CV)	Langmuir	243.9	3-9	10-50	240
Selüloz nanolifli MF membranı		Langmuir	-	-	20	120
Katyonik aşırı dallanmış polietilenimin ile oksitlenmiş selüloz (hPEI -CE)	Basic yellow 28 (BY28)	Langmuir	1860.0	5-9	25	60
Kuaternize selüloz nanofibriller (Q-NFC)	Acid green	-	683.0	-	-	1
DANC ve PVAm esaslı nanokompozit mikrojel	Reactive light yellow K-4G	Langmuir	1250.9	-	-	-

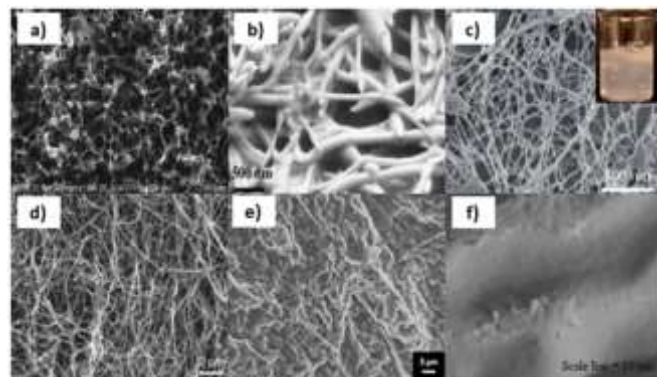
Nanoselüloz Esaslı Adsorbanların FTIR Analizi

Adsorban amaçlı kullanılmak üzere farklı modifikasyon işlemleri uygulanarak elde edilen nanoselülozların yüzeyinde bulunan fonksiyonel gruplardaki değişimler FTIR analizleri ile tespit edilmektedir. Şekil 3'te verilen selülozun FTIR spektroskopisindeki karakteristik pikleri, modifikasyon işlemleri sonucu değişmektedir. Selüloz molekülünde yer alan hidroksil gruplarının (-OH) yükseltgenmesi veya molekül içi ve moleküller arası eter bağlarında (R-O-R) meydana gelen kırımlar, yapının aydınlatılmasında önem taşımaktadır. Zhu ve ark. (2016) yaptıkları çalışmada, kimyasal olarak NaIO₄ ile oksitledikleri selüloz moleküllerine katyonik aşırı dallanmış polietilenimin (hPEI) kimyasalı polimer aşılama yöntemi ile bağlanmış, aldehit grupları ile hPEI amino grupları arasında Schiff bazı yapısı oluşturulmuştur. Yapıda meydana gelen değişim FTIR spektroskopisinde sırasıyla 1560 cm⁻¹ ve 1413 cm⁻¹de görülen C=N ve C-N titreşimleri ile aydınlatılmıştır. Bir diğer çalışmada ise, iki aşamalı bir yöntemle amfoterik polivinilamin (PVAm) bazlı yeni bir nanokompozit mikrojel üretilmiştir. İlk olarak kraft hamurundan sülfürük asit hidrolizi ile elde edilen nanokristalin selüloz (NCC) sodyum periodat ile oksitlemiş ve dialdehit nanokristal selüloz (DANC) elde edilmiştir. Sonraki aşamada ise DANC, çapraz bağlayıcı olarak kullanılan PVAm ile reaksiyona sokulmuş ve yüksek yoğunlukta serbest amin gruplarına sahip bir mikrojel elde edilmiştir. FTIR analizinde, 3300 cm⁻¹de serbest amin gruplarının (N-H) titreşimi ve 1640 cm⁻¹de C=N titreşimi (Schiff bazı) görülmüştür (Jin ve ark. 2015a). Qiao ve ark. (2015) selüloz nanokristallerine esterifikasyon reaksiyonu ile maleik anhidrit aşılıyorarak sentezledikleri adsorbanın

FTIR spektrumunda 1636 cm⁻¹de C-C deformasyon, 1731 cm⁻¹de C=O ve 1250 cm⁻¹de asimetrik S=O titreşimlerini tespit etmişlerdir. Adsorban amaçlı sentezlenen nanoselülozların FTIR incelemeleri detaylı olarak Çizelge 3'te verilmiş olup, nanoselülozun fonksiyonellenmesine yönelik çok sayıda çalışma mevcuttur.

Nanoselüloz Esaslı Adsorbanların Morfolojik (SEM) Özellikleri

Adsorpsiyon amaçlı kullanılmak üzere farklı üretim yöntemleri ve modifikasyon uygulamaları sonucu elde edilen nanoselülozların morfolojik özelliklerinin farklılığı gösterdiği görülür. Modifikasyon türü lif boyutunu (uzunluk ve genişlik) etkilemektedir. Boya adsorpsiyon çalışmalarında adsorban olarak kullanılmak üzere üretilen farklı nanoselüloz türleri lif boyutları açısından değişkenlik göstermektedir (Şekil 3).



Şekil 3. Farklı yöntemlerle elde edilen nanoselüloz esaslı adsorbanların FE-SEM görüntüleri, a) Hidroliz (He ve ark. 2013), b) Çapraz bağlanması (Ma ve ark. 2011) c) Polimer aşılama (Mohammed ve ark. 2015) d) Oksidalıyon (Chen ve ark. 2014). e) İyonotropik jelleşme (Pei ve ark. 2013), f) Aşı kopolimerizasyon (Salama ve ark. 2015)

Çizelge 3. Fonksiyonellenmiş nanoselülozlerin FTIR pikleri

Adsorban	Dalga boyu (cm ⁻¹)	Fonsiyonel grup	Kaynak
Selüloz nanofibrilleri (CNF)	3340	O-H gerilme (moleküller arası hidrojen bağları)	Chan ve ark. (2015)
	2901	Alifatik alkil gerilmeleri	Qiao ve ark. (2015)
	1731	C=O (ester bağı)	Chan ve ark. (2015)
	1640	-OH adsorpsiyon bandı	Liang ve Marchessault (1959)
	1163	Piranoz halkasının eter bağı	Chan ve ark. (2013)
TEMPO ile okside edilmiş nanofibril selüloz (TEMPO-NFC)	835	Aromatik halkanın O-H gerilmesi	Wang ve ark. (2018)
Kationik aşırı dallanmış polietilenimin ile oksitlenmiş selüloz (hPEİ -CE)	3354	O-H gerilme	
	2900	C-H gerilme	
	1639	-OH adsorpsiyon bandı	
	1440	O-H bükülme	
	1300	C—O—C gerilme	
	1162	C—O gerilme	
	892	C-H rocking	
	1740	Aldehit grubunun C=O gerilmesi	
	3460	Oksidize selülozon O-H gerilmesi	
	1560	C=N gerilme	
Nanokompozit mikrojel esası DANC ve PVAm	1413	C-N gerilme	
	1731	C=O gerilme	
	883	-OH adsorpsiyon bandı	
	3425 ve 3244	Birincil aminin N-H bandı	
	1593	N-H bükülme titresimi	Jin ve ark. (2015a)
	1673	Simetrik karboksilikat gerilmesi	
	1640	Schiff bazının C=N titresimi	
	3300	Serbest aminlerin N-H gerilmesi	
Karboksilikat ile fonksiyonellenmiş selüloz (CNM)	1731	C=O gerilme	
	3200-3600	O-H gerilme	
	2905	-CH ₂ gruplarının C-H gerilmesi	
	1636	C-C deformasyonu	
	1163	C-O antisimetrik köprü gerilmesi	
	1250	Asimetrik S=O titresimi	
Kuaternize selüloz nanofibriller (Q-NFC)	1050	C-O-C (Piranoz halkasının eter bağı)	
	1480	Kuaternize amonyumun trimetil grupları	
	1640	-OH adsorpsiyon bandı	Pei ve ark. (2013)
	3441	O-H gerilme	
CMC-g-PDMAEMA hidrojel	2890	Asimetrik C-H gerilme	
	1623	C=O gerilme	
	1727	Ester gruplarının C=O gerilmesi	Salama ve ark. (2015)
	1149	C-N gerilme	
	2770 ve 2821	CH ₂ grupları	
	3341	O-H gerilme	
Karboksillenmiş CNCs	2898	C-H gerilme	
	1429	H-C-H düzlem içi bükülmesi	
	1429	O-C-H düzlem içi bükülmesi	
	1376	C-H deformasyonu	
	1735	-COOH gerilme	
	1731 ve 885	Aldehit grubu (C=O) ve hemiasetal bağlarının (O-H) adsorpsiyon bantları	
Amino fonksiyonellenmiş nanokristalin selüloz (ANCC)	1583	N-H bükülme titresimi	
	3300	O-H gerilme	
			(Jin ve ark. 2015b)

He ve ark. (2013), hazırladıkları kristalin nanoselülozu amonyum persülfat ile reaksiyona sokarak elde ettikleri adsorbanın morfolojik özelliklerine incelediğinde, NCC'nin lif boyutlarının ortalama 130 nm uzunluğa ve 6-7 nm genişliğe sahip olduğunu belirtmişlerdir. Ma ve ark. (2011)'nın yaptıkları diğer bir çalışmada ise TEMPO (2,2,6,6-tetramethyl 1-1-piperidinyloxy) oksidasyonu ile elde edilen nanoselüloz yüzeyine çapraz bağlanma reaksiyonu ile poli(akrilonitril) bağlanarak yüksek yüzey/hacim oranına sahip çapraz bağlı bir kafes yapısı oluşturulmuştur. Nanoselüloz lif boyutlarının 5-10 nm çap ve 200-400 nm uzunluğa sahip olduğu belirtmiştir. Mohammed ve ark. (2015) yaptıkları çalışmada, selüloz nanokristalleri (CNC) ve üstün adsorpsiyon kapasitesine sahip aljinattan (ALG) geri dönüştürülebilir bir adsorban olan CNC-ALG hidrojeli geliştirilmiştir. CNC'lerin hidrojele dâhil edilmesi yüzeyde daha fazla kıvrım ve dalgalanmalar oluşturarak boyalı adsorpsiyonu için mevcut yüzey alanını geliştirmiştir olup gözenekli yapı sayesinde bağlanma noktaları artmıştır. Başka bir çalışmada, sülfit hamurunun glisidiltrimetilamonyum klorür ile reaksiyonu ve daha sonrasında uygulanan homojenleştirme işlemi sonrasında kuaternize selüloz nanofibriller (Q-NFC) elde etmiştir. Trimetilamonyum klorür içeriği arttığında selüloz nanofibrillerin genişlik ve uzunluğunun azaldığı, optik olarak şeffaf ve jel benzeri bir davranış sergilediği belirtilmiştir. Bu modifikasyon işleminde nanofibril genişliklerinin ortalama 10 nm olduğu belirtilmiştir (Pei ve ark. 2013). Sulu çözeltilerden metil orange (MO) uzaklaştırılmak için yapılan çalışmada ise, karboksimetil selüloz (CMC) ile 2-(dimetilamino) etil metakrilat (DMAEMA) arasında aşırı kopolimerizasyon reaksiyonu sonucu CMC-g-PDMAEMA hidrojeli sentezlenmiştir. Hidrojelin adsorpsiyon öncesi ve sonrası morfolojik yapısına bakılmıştır. CMC-g-PDMAEMA hidrojeli 20 nm civarında gözenek çapına sahip olup MO adsorpsiyonundan sonra gözenekler kaybolmuştur. CMC-g-PDMAEMA hidrojelindeki katyonik üçüncü amino grupları ile MO'daki sülfat anyonik gruplar arasındaki etkileşim, elektrostatik itme kuvvetini azaltarak ağırlık veya gözeneklerin büzülmesine yol açmaktadır (Salama ve ark. 2015). Bir diğer çalışmada ise TEMPO oksidasyonu (TMP), hidroklorik asit hidrolizi (HCl), sülfürik asit hidrolizi (HSO) ve yüksek yoğunluklu ultrasonikasyon (HIUS) metodları kullanılarak modifiye edilmiş çeşitli nanoselülozlar

sentezlenmiştir. Bu nanoselülozler %wt 0.1, 0.2 ve 0.5 oranlarında katılarak boyalı adsorpsiyonunda kullanılmak üzere aerojeller oluşturulmuştur. Morfolojik yapıları incelendiğinde, HIUS-NCF aerojelinde lif çapının 150-900 nm, TMP-NCF aerojelinde ise 50-300 nm arasında değiştiği görülmüştür. HCl-NCF'ler demet şeklinde bir yapı sergilemiş olup, 50-80 nm genişliğinde ve yaklaşık 500-600 nm uzunlığında lif boyutlarına sahip olduğu belirtilmiştir. HSO-NCF'ler ise suda daha serbest bir şekilde dağıtılabildiğinden, 20-50 nm genişliklere sahip daha ince liflere sahip olduğu görülmüştür (Chen ve ark. 2014).

SONUÇ VE ÖNERİLER

Bu derlemede, modifiye edilmiş selüloz esaslı adsorbanların atık sulardaki boyaları uzaklaştırmanın kapasiteleri incelenmiştir. Selüloz yüzeyinde yapılan modifikasyon işlemleri sonrasında elde edilen yeni fonksiyonel gruplar sayesinde yüzeyde aktif bağlanma yerlerinin arttığı görülmüştür. Bu da selüloz esaslı adsorbanların adsorpsiyon kapasitesini artırmaktadır. Adsorpsiyon yöntemi ile atık suların arıtılması ucuz ve çevre dostu bir yöntemdir. Hamur liflerinden ve selülozik biyokütleden üretilen selüloz esaslı adsorbanlar, sürdürülebilir ve geri dönüştürülebilir olmasının yanı sıra su sistemlerindeki kirleticileri gidermek için de ideal sistemlerdir. Bunların kullanımı, sera gazı üretimine katkıda bulunan aktif karbon gibi adsorbanlara olan bağımlılığı azaltacaktır. Atık sularдан boyalarının uzaklaştırılmasına yönelik çok sayıda araştırma makalesi bulunmasına rağmen, adsorpsiyon çalışmalarının sınırlı kaldığı ve endüstriyel ölçekte tam olarak gelişmediği görülmektedir. Bu konudaki araştırma sayılarının artırılmasına ihtiyaç vardır.

KAYNAKLAR

- Abe K, Iwamoto S, Yano H (2007) Obtaining cellulose nanofibers with a uniform width of 15 nm from wood. *Biomacromolecules* 8(10):3276–3278
Alemdar A, Sain M (2008) Isolation and characterization of nanofibers from agricultural residues – wheat straw and soy hulls. *Bioresouce Technology* 99(6):1664–1671
Anonim (2013) NanoHeal. <http://www.pfi.no/New-Biomaterials/Projects/NanoHeal>. Erişim: 15.10.2014.
Aravindhan R, Fathima NN, Rao JR, Nair BU (2007) Equilibrium and thermodynamic studies on the removal of basic black dye using

- calcium alginate beads. *Colloids and Surfaces A: Physicochemical and Engineering Aspects* 299:232–238
- Aulin C, Ahola S, Josefsson P, Nishino T, Hirose Y, Österberg M, Wagberg L (2009) Nanoscale cellulose films with different crystallinities and mesostructures—their surface properties and interaction with water. *Langmuir* 25(13):7675–7685
- Batmaz R, Mohammed N, Zaman M, Minhas G, Berry RM, Tam KC (2014) Cellulose nanocrystals as promising adsorbents for the removal of cationic dyes. *Cellulose* 21(3):1655–1665
- Beyki MH, Bayat M, Shemirani F (2016) Fabrication of core–shell structured magnetic nanocellulose base polymeric ionic liquid for effective biosorption of Congo red dye. *Bioresource Technology* 218:326–334
- Bharimalla AK, Deshmukh SP, Vigneshwaran N, Patil PG, Prasad V (2017) Nanocellulose-polymer composites for applications in food packaging: current status, future prospects and challenges. *Polymer-Plastics Technology And Engineering* 56:805–823
- Bhattacharyya R, Ray SK (2015) Removal of congo red and methyl violet from water using nano clay filled composite hydrogels of poly acrylic acid and polyethylene glycol. *Chemical Engineering Journal* 260:269–283
- Camcioğlu Ş (2010) Su bazlı boyaya üretim tesislerinin atıksularının arıtmasında genelleştirilmiş minimum değişimeli algoritma ile pH kontrolü. Ankara Üniversitesi, Fen Bilimleri Enstitüsü, Yüksek Lisans Tezi, Ankara
- Cao X, Chen Y, Chang PR, Muir AD, Falk D (2008) Starch-based nanocomposites reinforced with flax cellulose Nanocrystals. *XPRESS Polymer Letters* 2(7):502–510
- Chan CH, Chia CH, Zakaria S, Sajab MS, Chin SX (2015) Cellulose nanofibrils: a rapid adsorbent for the removal of methylene blue. *RSC Advances* 5:18204–18212
- Chan HC, Chia CH, Zakaria S, Ahmad I, Dufresne A (2013) Production and characterization of cellulose and nano-crystalline from kenaf core wood. *BioResources* 8:785–794
- Chen W, Li Q, Wang Y, Xin YX, Zeng J, Yu H, Liu Y, Li J (2014) Comparative study of aerogels obtained from differently prepared nanocellulose fibers. *ChemSusChem* 7:154–161
- Chong KY, Chia CH, Zakaria S, Sajab MS, Chook SW, Khiew PS (2015) CaCO₃- decorated cellulose aerogel for removal of Congo Red from aqueous solution. *Cellulose*, 22(4):2683–2691
- Crini G (2006) Non-conventional low-cost adsorbents for dye removal: a review. *Bioresource Technology* 97:1061–1085
- Deng C, Liu J, Zhou W, Zhang YK, Du KF, Zhao ZM (2012) Fabrication of spherical cellulose/carbon tubes hybrid adsorbent anchored with welan gum polysaccharide and its potential in adsorbing methylene blue. *Chemical Engineering Journal* 200–202:452–458
- Dufresne A (2008) Polysaccharide nano crystal reinforced nanocomposites. *Canadian Journal of Chemistry* 86(6):484–494
- Dural MU, Cavas L, Papageorgiou SK, Katsaros FK (2011) Methylene blue adsorption on activated carbon prepared from Posidonia oceanica (L.) dead leaves: kinetics and equilibrium studies. *Chemical Engineering Journal* 168:77–85
- Eriksen Ø, Syverud K, Gregersen Ø (2008) The use of microfibrillated cellulose produced from kraft pulp as strength enhancer in tpm paper. *Nordic Pulp & Paper Research Journal* 23(3):299–304
- Fabio PG, Nuno HCS, Trovatti E, Serafim LS, Duarte MF, Silvestre AJD, Neto CP, Carmen SRF (2013) Production of bacterial cellulose by Gluconacetobacter sacchari using dry olive mill residue. *Biomass Bioenergy* 55:205–211
- Freundlich H (1906) Über die adsorption in lösungen. *Zeitschrift für Physikalische Chemie* 57:385–470
- Gama M, Gatenholm P, Klemm D (2012) *Bacterial nanocellulose: a sophisticated multifunctional material*. CRC Press, Boca Raton, p 304
- Gómez CH, Serpa A, Velásquez-Cock J, Gañán P, Castro C, Vélez L, Zuluaga R (2016) Vegetable nanocellulose in food science: a review. *Food Hydrocolloids* 57:178–186
- Habibi Y, Lucia LA, Rojas OJ (2010) Cellulose nanocrystals: chemistry, self-assembly, and applications. *Chemical Reviews* 110:3479–3500
- He X, Male KB, Nesterenko PN, Brabazon D, Paull B, Luong JHT (2013) Adsorption and desorption of methylene blue on porous carbon monoliths and nanocrystalline cellulose. *ACS Applied Materials & Interfaces* 5:8796–8804
- Hubbe MA, Heitmann JA (2007) Review of factors affecting the release of water from cellulosic fibers during paper manufacture. *BioRessources* 2(3):500–533
- Ifuku S, Nogi M, Abe K, Handa K, Nakatubo F, Yano H (2007) Surface modification of bacterial cellulose nanofibres for property enhancement of optically transparent composites: dependence on acetyl-group DS. *Biomacromolecules* 8:1973–1978
- Iobelovich M, Leykin A (2004) Nanocellulose and its application. *Scientific Israel – Technological Advantages*, 6(3):17–24
- Iwamoto S, Nakagaito AN, Yano H (2007) Nano-fibrillation of pulp fibers for the processing of transparent nanocomposites. *Applied Physics A* 89(2):461–466
- Jin L, Li W, Xu Q, Sun Q (2015b) Amino-functionalized nanocrystalline cellulose as an adsorbent for anionic dyes. *Cellulose* 22:2443–2456.
- Jin L, Sun Q, Xu Q, Xu Y (2015a) Adsorptive removal of anionic dyes from aqueous solutions using microgel based on nanocellulose and polyvinylamine. *Bioresource Technology* 197:348–355
- Kabay N (2002) Yeni O,O'-dihidroksi azo boyarmaddelerin metal komplekslerinin sentezi ve yapılarının aydınlatılması. Pamukkale Üniversitesi, Fen Bilimleri Enstitüsü, Yüksek Lisans Tezi, Denizli
- Karim Z, Mathew AP, Grahn M, Mouzon J, Oksman K (2014) Nanoporous membranes with cellulose nanocrystals as functional entity in chitosan: removal of dyes from water. *Carbohydrate Polymers* 112:668–676
- Kayranlı B (2011) Adsorption of textile dyes onto iron based waterworks sludge from aqueous solution: isotherm, kinetic and thermodynamic study. *Chemical Engineering Journal* 173:782–791
- Klemm D, Kramer F, Moritz S, Lindström T, Ankerfors M, Gray D, Dorris A (2011) Nanocelluloses: a new family of nature-based materials. *Angewandte Chemie International Edition* 50(24):5438–5466
- Klemm D, Schumann D, Kramer F, Hessler N, Hornung M, Schmauder HP, Marsch S (2006) Nanocelluloses as innovative polymers in research and application. *Advances in Polymer Science* 205:49–96
- Langmuir I (1918) The adsorption of gases on plane surfaces of glass, mica and platinum. *Journal of the American Chemical Society*, 40:1361–1403
- Lavoine N, Desloges I, Dufresne A, Bras J (2012) Microfibrillated cellulose – its barrier properties and applications in cellulosic materials: a review. *Carbohydrate Polymers* 90:735–764
- Liang CY, Marchessault RH (1959) Infrared spectra of crystalline polysaccharides. I. hydrogen bonds in native celluloses. *Journal of Polymer Science* 37:385–395
- Lin N, Dufresne A (2014) Nanocellulose in biomedicine: current status and futureprospect. *European Polymer Journal* 59:302–325
- Liu P, Sehaqui H, Tingaut P, Wichser A, Oksman K, Mathew AP (2014) Biobased nanomaterials for capturing silver ions (Ag⁺) from water via surface adsorption. *Cellulose* 21:449–461

- Ma H, Burger C, Hsiao BS, Chu B (2011) Nanofibrous microfiltration membrane based on cellulose nanowhiskers. *Biomacromolecules* 13(1):180–186
- Mahfoudhi N, Boufi S (2017) Nanocellulose as a novel nanostructured adsorbent for environmental remediation: a review. *Cellulose* 24:1171–1197
- Missoum K, Belgacem MN, Bras J (2013) Nanofibrillated cellulose surface modification: a review. *Materials* 6:1745–1766
- Mohammed N, Grishkewich N, Berry RM, Tam KC (2015) Cellulose nanocrystal-alginate hydrogel beads as novel adsorbents for organic dyes in aqueous solutions. *Cellulose* 22:3725–3738
- Murphy V, Hughes H, McLoughlin P (2008) Comparative study of chromium biosorption by red, green and brown seaweed biomass. *Chemosphere* 70:1128–1134
- Pääkko M, Ankerfors M, Kosonen H, Nykänen A, Ahola S, Österberg M, Ruokolainen J, Laine J, Larsson PT, Ikkala O, Lindström T (2007) Enzymatic hydrolysis combined with mechanical shearing and high-pressure homogenization for nanoscale cellulose fibrils and strong gels. *Biomacromolecules* 8(6):1934–1941
- Pahimanolis N, Hippi U, Johansson LS, Saarinen T, Houbenov N, Ruokolainen J, Seppala J (2011) Surface functionalization of nanofibrillated cellulose using click-chemistry approach in aqueous media. *Cellulose*, 18:1201–1212
- Pearce CI, Lloyd JR, Guthrie JT (2003) The removal of colour from textile wastewater using whole bacterial cells: a review. *Dyes Pigment* 58:179–196
- Pei A, Butchosa N, Berglund LA, Zhou Q (2013) Surface quaternized cellulose nanofibrils with high water absorbency and adsorption capacity for anionic dyes. *Soft Matter* 9:2047–2055
- Piccin JS, Gomes CS, Feris LA, Gutterres M (2012) Kinetics and isotherms of leather dye adsorption by tannery solid waste. *Chemical Engineering Journal* 183:30–38
- Poyraz B, Arslan R, Akinci A, Tozluoglu A (2018) Chemical and morphological analysis of modified nanocellulose. *Artvin Coruh University Journal of Forestry Faculty* 19(1):39–47
- Qiao H, Zhou Y, Yu F, Wang E, Min Y, Huang Q, Pang L, Ma T (2015) Effective removal of cationic dyes using carboxylate-functionalized cellulose nanocrystals. *Chemosphere* 141:297–303
- Qu X, Alvarez PJJ, Li Q (2013) Applications of nanotechnology in water and wastewater treatment. *Water Research* 47:3931–3946
- Retulainen E, Luukko K, Fagerholm K, Pere J, Laine J, Paulapuro H (2002) Papermaking quality of fines from different pulps—the effect of size, shape and chemical composition. *Appita Journal* 55(6):457–460
- Roy D, Semsarilar M, Guthrie JT, Perrier S (2009) Cellulose modification by polymer grafting: a review. *Chemical Society Reviews* 38:2046–2064
- Salama A, Shukry N, El-Sakhawy M (2015) Carboxymethyl cellulose-g-poly(2-(dimethylamino) ethyl methacrylate) hydrogel as adsorbent for dye removal. *International Journal of Biological Macromolecules* 73:72–75
- Savage N, Diallo MS (2005) Nanomaterials and water purification: opportunities and challenges. *Journal of Nanoparticle Research* 7:331–342
- Siro I, Plackett D (2010) Microfibrillated cellulose and new nanocomposite materials: a review. *Cellulose* 17(3):459–494
- Smrckova D, Michalek J, Karpushkin E, Hobzova R, Miroslava M, Gatenholm P (2012) Methacrylate hydrogels reinforced with bacterial cellulose. *Polymer International* 61:1193–1201
- Swaminathan K, Sandhya S, Carmalin Sophia A, Pachhade KY, Subrahmanyam YV (2003) Decolorization and degradation of H-acid and other dyes using ferrous-hydrogen peroxide system. *Chemosphere* 50:619–625
- Tavakolian M, Wiebe H, Sadeghi MA, Van de Ven TGM (2019) Dye removal using hairy nanocellulose: experimental and theoretical investigations. *ACS Applied Materials & Interfaces* 12(4):5040–5049
- Tozluoglu A, Poyraz B (2016) Effects of cellulose micro/nanofibers as paper additives in kraft and kraft-NaBH₄ pulps. *Nordic Pulp & Paper Research Journal* 31(4):561–572
- Uetani K, Yano H (2011) Nanofibrillation of wood pulp using a high-speed blender. *Biomacromolecules* 12(2):348–353
- Unuabonah EI, Taubert A (2014) Clay-polymer nanocomposites (CPNs): adsorbents of the future for water treatment. *Applied Clay Science* 99:83–92
- Voisin H, Bergström L, Liu P, Mathew Aji P (2017) Nanocellulose-based materials for water purification. *Nanomaterials* 7(57)
- Wang W, Fu S, Peng Y, Zheng X, Ratulainen EA (2018) A prediction model for grafting Reactive Red 120 on nanocellulose. *BioResources* 13(4):8814–8822
- Wang Y, Mu Y, Zhao QB, Yu HQ (2006) Isotherms, kinetics and thermodynamics of dye biosorption by anaerobic sludge. *Separation and Purification Technology* 50:1–7
- Yagub MT, Sen TK, Afrose S, Ang HM (2014) Dye and its removal from aqueous solution by adsorption: a review. *Advances in Colloid and Interface Science* 209:172–184
- Yakkan E (2015) Nanoselüloz-propilen kompozitler. İzmir Katip Çelebi Üniversitesi, Fen Bilimleri Enstitüsü, Yüksek Lisans Tezi, İzmir
- Yu HY, Zhang DZ, Lu FF, Yao J (2016) New approach for single-step extraction of carboxylated cellulose nanocrystals for their use as adsorbents and flocculants. *ACS Sustainable Chemistry & Engineering* 4:2632–2643
- Zaman M, Xiao HN, Chibante F, Ni YH (2012) Synthesis and characterization of cationically modified nanocrystalline cellulose. *Carbohydrate Polymers* 89:163–170
- Zhou C, Wu Q, Lei T, Negulescu II (2014) Adsorption kinetic and equilibrium studies for methylene blue dye by partially hydrolyzed polyacrylamide/cellulose nanocrystal nanocomposite hydrogels. *Chemical Engineering Journal* 251:17–24
- Zhu W, Liu L, Liao Q, Chen X, Qian Z, Shen J, Liang J, Yao J (2016) Functionalization of cellulose with hyperbranched polyethylenimine for selective dye adsorption and separation. *Cellulose* 23:3785–3797.